

电容器发展史

赵俊清

2025-4-21

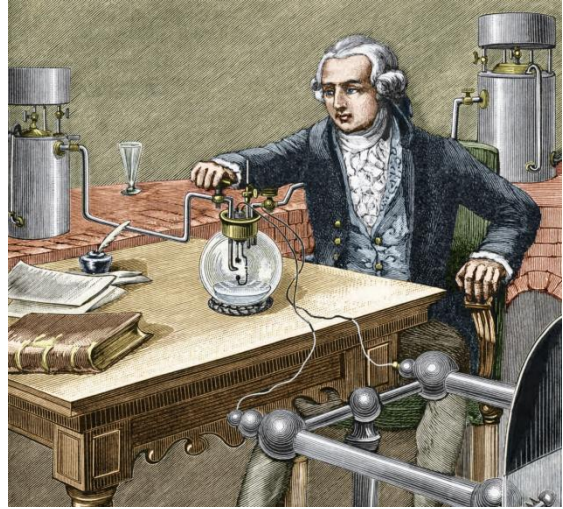
目录

一. 早期探索阶段.....	1
1、莱顿瓶的诞生.....	1
2、电荷的驯服之路.....	2
二. 工业标准化进程.....	4
1、大西洋底的启示.....	4
2、从学术参数到工业量纲.....	4
3、进军工商业——云母电容器.....	5
三. 材料革命时期.....	6
1、早期电容材料与技术.....	6
2、陶瓷材料的突破.....	7
3、塑料薄膜电容的兴起.....	7
4、半导体技术与固态电解电容.....	8
四. 可变电容赛道.....	9
1、机械调节时期.....	9
2、真空密封技术突破.....	10
3、半导体调谐革命.....	10
五. 新世纪突破.....	11
1、双电层电容器的觉醒.....	11
2、超级电容的产业化浪潮.....	12
3、光子晶体介质电容器面世.....	12

一. 早期探索阶段

1、莱顿瓶的诞生

1745 年 10 月，德国牧师埃瓦尔德·格奥尔格·冯·克莱斯特（Ewald Georg von Kleist）用玻璃瓶装满水，通过导线将摩擦起电装置产生的电荷导入瓶中。当他触摸瓶口的钉子时，感受到强烈电击。由于研究欠缺系统性，加上通讯条件滞后，他的科学发现未及时获得学界的关注。

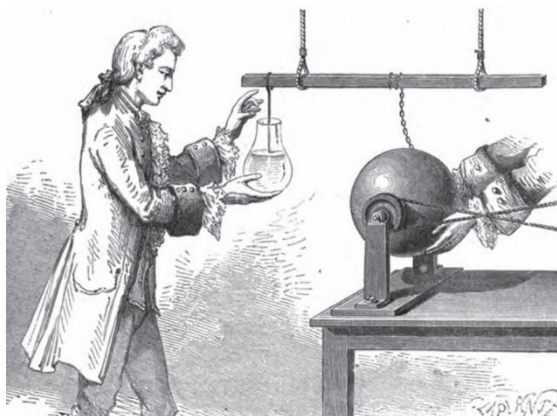
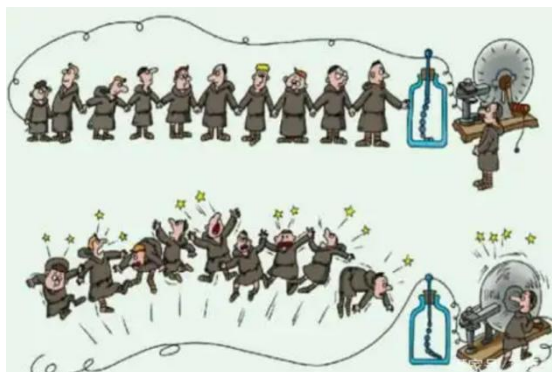


1746 年 1 月，荷兰莱顿大学的物理学家彼得·范·穆森布鲁克（Pieter van Musschenbroek）与其助手进行电荷储存实验时，也意外发现了莱顿瓶的雏形。他们将装水的玻璃瓶通过金属链连接起电机，在尝试触碰引线时遭遇强烈电击，这一现象被穆森布鲁克记录在信件中，成为最早的实验记录。

现代科学史通常将上述两人并列为莱顿瓶现象的独立发现者。莱顿瓶现象的发现很快在欧洲引起了强烈的反响，除了两位独立发现者，众多物理学家对莱顿瓶进行了大量实验研究。

1745 年 12 月，在克莱斯特发现约 2 个月后，乌普萨拉大学的天文学教授，因摄氏温标闻名的瑞典科学家，安德斯·摄氏（Anders Celsius），通过学术通讯获知电击现象，随即复现了实验。他使用薄壁玻璃瓶替代克莱斯特使用的厚壁容器，发现储存电荷量显著增加，为 19 世纪电容公式的提出提供了早期实证。此外，他还尝试用酒精代替水作为导体，发现液体导电性差异对放电效果的影响。他的研究成果以瑞典语发表于《瑞典皇家科学院论文集》，由于语言障碍，国际学界在两年后才通过法语摘要了解其电学研究成果。

1746年4月，法国科学家安托万·诺莱特（Antoine Nollet）在巴黎圣母院组织公开实验，他让七百名修士手拉手排成一行，队伍全长达900英尺（约275米），排头的修士捧住莱顿瓶，排尾的修士接触瓶口引线的瞬间，七百名修士因受电击几乎同时跳起来。这集体触电的戏剧性场面被《法国信使报》详细报道，成为科学史上最早的“病毒式传播”案例。诺莱特成功将电学从实验室带入公众视野，也启发了越来越多的欧洲学者对这一新兴领域的兴趣。他的实验也反映了科学史上的一个特殊阶段——科学与表演的结合，这种“科学秀”既满足了公众对奇观的需求，也促进了科学思想的传播。



在莱顿瓶出现前，电学研究受限于无法保存电荷——如摩擦起电产生的静电会迅速消散，莱顿瓶的诞生使科学家能稳定储存电荷并进行可控实验，极大扩展了电学实验的可能性。通过对莱顿瓶的系统性研究，“电荷守恒定律”被提出，过去认为电是静态现象的观点被推翻，后续的电学研究迎来光明的前景。莱顿瓶的储能特性促使科学家测量电荷量与电压的关系，最终导出电容公式，成为电容器研究的起点。

在物理学领域之外，莱顿瓶放电产生的瞬时电流还被用于研究电火花、电解、生物电等现象。在后续的数百年间，这只简简单单的玻璃瓶孕育出了伏打电堆、电报机，直到今日，每部手机里依然跃动着它的灵魂——电容器的原始基因。

2、电荷的驯服之路

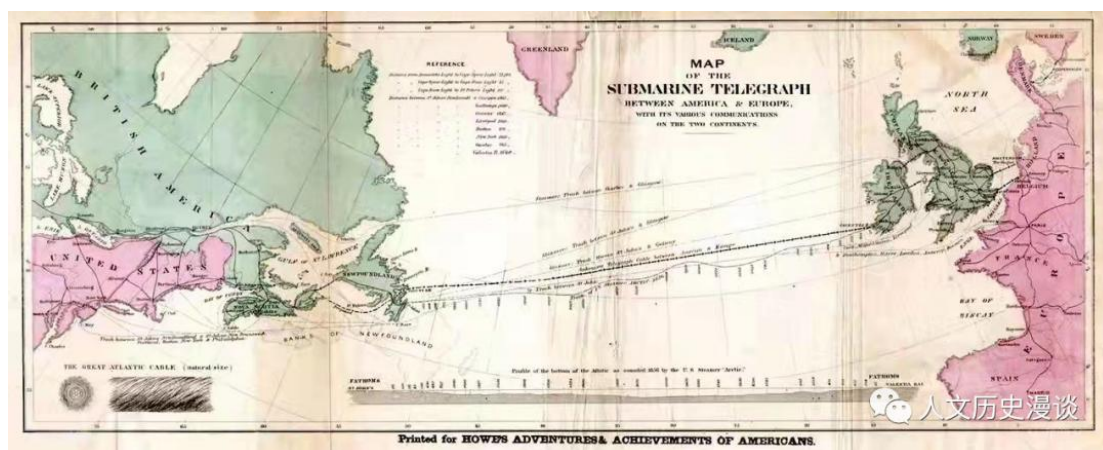
1752年，莱顿瓶问世的消息终于传到了本杰明·富兰克林（Benjamin Franklin）那里，经过他的改进，原始设计中的水介质被丝绸作坊的金属箔替代，大大提升了电荷储存效率。当他的改进版莱顿瓶在著名的“风筝实验”中大展身手，成功捕获闪电，人类终于意识到这种神秘力量并非神明的权柄，一位位科学先锋开始带领人们走出神学的雾霭，踏上对电荷的驯服之路。

靠着大量的实验，驯服电荷所必需的数学工具和理论基础在18世纪末逐渐发展起来。1775年，英国化学家亨利·卡文迪许（Henry Cavendish）在伦敦宅邸

地下室秘密实验中，首次测量了不同介质对“电容量”的影响。这位性格孤僻的科学家设计了精妙的实验装置：将等量电荷分别储存在装有硫磺、松脂、玻璃等 12 种介质的莱顿瓶中，通过观测金箔静电计的偏转角度比较储电能力。这些开创性研究均被记录在其未发表的手稿中。1785 年，法国工程师查尔斯·库仑（Charles-Augustin de Coulomb）发表《电气与磁性的基本定律》，通过扭秤实验精确验证电荷作用力的平方反比关系，为电容的数学定义奠定了基础，更催生了首个电容计算公式： $C = Q/U$ 。

告别 18 世纪，进入 19 世纪，伏打电堆的发明使电学研究迈出了从静电到动电的临门一脚。1791 年，伽伐尼通过青蛙腿实验提出“动物电”理论，认为生物体内存在特殊电流。意大利物理学家亚历山德罗·伏打（Alessandro Volta）对此理论表示怀疑，他在 1794 年的对照实验中证明：当使用相同金属制成的镊子接触青蛙腿时，无论操作多少次都不会产生肌肉收缩。他猜测电效应并非源于生物组织本身，而源于不同金属的相互接触。从 1799 年起，伏打系统研究了多种金属组合，最终确定锌-铜组合的接触电势差最为显著。他创新性地采用浸透盐水的硬纸板作为电解液层，通过将 60 组锌-铜对交替堆叠，于 1800 年成功研制出首个能持续产生电流的装置。伏打电堆的设计原理直接启发了现代电池技术的发展，也迫使科学家开始重新思考动态电路中的电荷储存问题。

1824 年，法国数学家西梅翁·泊松（Siméon Poisson）在《导体表面电荷分布研究》中证明：孤立导体电容仅取决于其几何形状，这一结论直接启发了 1837 年迈克尔·法拉第（Michael Faraday）的平行板电容实验。在皇家研究院的地下实验室里，法拉第用涂蜡丝绸隔开两片的锡板，通过改变板间距和介质材料——例如空气、硫磺、云母，系统测量了上千组数据。实验显示，当板间距缩小到 0.5 毫米时，电容值达到莱顿瓶的 120 倍，这促使他提出著名的平行板电容公式： $C = \epsilon S/d$ 。他在笔记本中首次使用“capacitance”（电容）一词，还特别注明：“这个物理量应当如同质量、长度那样，成为电磁学的基本量纲。”至此，莱顿瓶的经验主义时代终结，电容作为可计算、可设计的物理量登上科学舞台。



二. 工业化进程

1、大西洋底的启示

19 世纪中叶，随着电气工程的发展，电容器越来越多地被应用在电路结构中，于是莱顿瓶的复杂结构逐渐被简化为由两片平行金属板夹着电介质的平板电容器，提高了容量和稳定性，变得更适合在工业上应用。而此时，电磁学领域也正经历着从现象描述到定量研究的转变，器件的标准化变得愈发迫切。

1845 年，21 岁的威廉·汤姆森（William Thomson）——也就是后来的开尔文勋爵，成为格拉斯哥大学自然哲学教授，开始系统研究电磁学量化问题。1853 年，他在论文《论莱顿瓶的瞬时放电》中推导出电容振荡公式，首次将电容与电流、时间等变量数学关联。19 世纪 50 年代，跨大西洋电报电缆铺设遭遇重大挫折。汤姆森在电缆敷设过程中发现，当脉冲电流通过 1200 海里长的电缆时，信号波形会出现严重的畸变和衰减。通过示波器记录，他观察到信号前沿从尖锐的方波变成拖尾长达 2 秒的缓变曲线。经过反复实验，他建立了著名的“电缆方程”，首次将导体对地电容作为独立变量引入传输系统分析。

这个发现让工程师们意识到：电缆不仅是电流的通道，更是一个巨大的分布式电容器，其每英寸铜芯与海水之间形成的 0.05 皮法电容，在宏观尺度上累积出了足以扭曲信号的等效容抗。在 1866 年最终成功的跨洋电缆工程中，实测数据验证了汤姆森的理论预测，每海里电缆呈现出的 0.3 微法电容值，使得信号传输速率被限制在每分钟 2-3 个单词。这种技术瓶颈迫使工程师开始系统研究电容参数的测量与控制，英国标准协会为此专门设立了“导体电容测定委员会”。该委员会于 1870 年发布的《海底电缆电容测定规范》中，首次明确定义了“标准测试频率”（100Hz）和“标准测试温度”（ $20\pm 1^{\circ}\text{C}$ ），标志着电容参数正式进入工业化视野。

随着电力革命的推进，电容参数的重要性呈指数级增长。1888 年特斯拉发明交流电动机后，西屋电气工程师斯坦梅茨（Charles Proteus Steinmetz）发现电力系统中的电容电流会导致电压波动，并于 1892 年发表在《交流电现象》中。这一发现直接催生了功率因数校正技术，而其实施前提是电容器的参数必须精确可控。

2、从学术参数到工业量纲

1873 年，麦克斯韦在《电磁通论》第 VII 章提出了基于 CGS 电磁单位制的

电容单位（即“绝对法拉”），但按此定义，1 CGS 电磁单位法拉 $\approx 9 \times 10^{11}$ 现代法拉，这一量级对实际应用显然过大。



1881 年巴黎国际电学大会上，“法拉”（Farad）的命名被正式确认，以纪念“那位揭示电介质奥秘的哲人”——法拉第。但是在大会上，“法拉”标准的确定却引发了理论派和实用派的争论。英国代表手持汤姆森设计的镀金玻璃板电容器（标称值 0.1 微法）主张：“单位必须根植于绝对测量！”而德国物理学家赫尔

曼·冯·亥姆霍兹则展示西门子云母电容器的比对结果，强调“工业需要可复现的实用基准”。激烈的争论最终达成妥协：在保留 CGS 理论框架的同时，引入“国际法拉”作为过渡单位，其值被设定为 $1/1.126 \times 10^9$ CGS 电磁单位，并通过一组铂-云母电容器实体复现。

1900 年巴黎国际电工大会上，关于电容单位的争论持续了整整三周。英国代表坚持使用汤姆森建立的“静电单位”（1 静电法拉=1.11 皮法），而德国学派则主张采用基于国际单位制的实用单位（1 法拉=1 库仑/伏特）。这场看似学术的争论背后，实质是工业话语权的争夺——当时德国电气工业产值已占全球 38%，但产品规格混乱导致出口受阻。西门子公司的技术档案显示，其 1901 年生产的 2000 只纸质电容器中，实测容量分布在标称值的-22%至+31%之间。

3、进军工商业——云母电容器

AEG 公司材料实验室的突破发生在 1903 年。工程师汉斯·里希特发现天然云母在 600°C 氩气环境中热处理后，其介质损耗角正切值从 0.003 降至 0.0002 以下，这是当时已知最佳绝缘材料（油浸纸）的三分之一。更关键的是，在印度科拉尔金矿区发现的世界级的云母矿床中，片状晶体尺寸和平整度为规模化生产提供了可能。AEG 立即买断了该矿脉的 20 年开采权，并投资建造了全球首条云母带分切机——这台装备金刚石刀具的设备可将云母晶体分割成宽度 0.5 毫米、厚度公差 $\pm 2\%$ 的带状介质。

1906 年柏林工业博览会上，AEG 展出的 MK-1 型标准电容器引发轰动。这

个采用 0.1mm 云母片与锡箔交替叠层的装置，在 40Hz 至 10kHz 范围内展现出 $\pm 1\%$ 的精度稳定性。为证明可靠性，AEG 在展台布置了恒温油槽，将 100 只电容器在 45°C 环境中连续通电 1000 小时，容量漂移始终控制在 0.8% 以内。德意志帝国物理技术研究院（PTR）的认证报告显示，MK-1 的年稳定性达到 0.02%，远超当时其他类型的电容器。

AEG 的生产线革新始于真空浸渍技术。他们将切割成型的云母片用石蜡进行表面处理，使击穿电压大大提高。生产线上的女工们（当时电子行业的主力劳动力）在显微镜下手工剔除带有矿物包裹体的云母片，确保每片介质的光学均匀性。到 1912 年，柏林工厂的月产量突破 3000 件。

标准化的蝴蝶效应迅速显现。西门子采用 AEG 标准后，其电力电容器体积大大缩小，1913 年安装于汉堡发电站的 10kV 补偿装置仅需 5.2 立方米空间，而此前同类产品需要 8 立方米；美国 NBS（现 NIST）于 1910 年被迫支付专利费引进云母处理技术，其工程师在内部备忘录中哀叹“德国人用标准构筑了技术壁垒”；日本芝浦制作所甚至派遣工程师田中原藏常驻柏林进行学习。

1914 年国际电工委员会（IEC）将 AEG 标准采纳为国际推荐标准时，德国电气产品出口额较 1906 年增长了 270%。云母电容器的标准化不仅规范了产品规格，更重构了产业链——从巴西的云母矿精选工艺，到瑞士精密冲压机床的定位精度，再到英国谢菲尔德的金箔轧制技术，全球供应链被统一到以微米为单位的公差体系中。在二战期间，德国 BFG 公司使用标准化云母电容器组装的 FuG220 雷达，其本振电路的频率稳定性比盟军产品高出两个数量级。

三. 材料革命时期

1、早期电容材料与技术

20 世纪初无线电技术的爆发性增长，使得储能元件成为电路设计的核心需求，也催生出了第一代实用化电容器。1900 年马可尼在进行跨大西洋电报实验时，其火花间隙发射机需要储存高达 20kV 的瞬态电能。当时的工程师发现，将浸渍石蜡的羊皮纸与锡箔交替卷绕形成的拳头粗细的圆柱结构，虽然笨重且易受潮，但可提供 $0.1\mu\text{F}$ 的容量，这成为纸介电容器的雏形，为马可尼的跨大西洋电报实验提供了关键储能支持。美国专利局档案显示，1909 年 GE 工程师 Edward Bennett 发明的“绝缘纸金属箔电容器”首次实现了工业化生产。

然而这类电容器存在致命缺陷：石蜡在高温下易软化导致介质变形。英国物理学家 Oliver Heaviside 在 1912 年的《电气世界》杂志中指出，纸介电容器在湿

度超过 60%的环境中容量会漂移达 15%。这一问题直到 1921 年日本东北帝国大学的樱井錠一教授在电解实验中获得转机。根据樱井实验室记录簿（现存于日本国立科学博物馆），他在测试铝箔阳极氧化时意外发现，在硼酸电解液中形成的氧化铝薄膜具有优异的绝缘性，多方面性能远超传统纸介质。1925 年日本电气（NEC）据此推出首款商用铝电解电容，其采用乙二醇-硼砂电解液体系，在 10 μ F 容量下体积仅为纸介电容的 1/8。这种新兴的电解电容迅速成为收音机电源滤波的核心元件。

2、陶瓷材料的突破

1942 年美国标准局（现 NIST）材料学家 Wainer 和 Salomon 在钛酸钡研究中取得关键发现。这种淡黄色材料能在微小电场下储存远超普通介质的电荷，根据《美国陶瓷学会期刊》1945 年论文，该材料在居里温度（120 $^{\circ}$ C）附近的介电常数高达传统云母介质的 50 倍。这一发现犹如打开新世界的大门，各国实验室竞相投入陶瓷电容研发。

1953 年，美国西电公司率先推出首款商用陶瓷电容（型号 CK05），采用直径 8mm 的圆片结构，在 1MHz 频率下容量稳定性达 \pm 5%。其耐高温特性使其在喷气式飞机点火系统中大放异彩，美国空军技术报告显示，F-86 佩刀战斗机的 J47 发动机点火器采用此类电容后，点火成功率从 78%提升至 99%。

1960 年代阿波罗计划中的制导计算机需要耐受月球表面 \pm 150 $^{\circ}$ C的温度波动，NASA 工程师开发出多层陶瓷电容（MLCC）工艺：将 5 μ m 厚陶瓷生片与钽银电极交替叠压，在 1,350 $^{\circ}$ C共烧形成 100 层结构。阿波罗 11 号任务报告记载，登月舱计算机中安装的 MLCC 在真空环境下仍保持 \pm 2%的容量公差，为导航系统提供了关键保障。

3、塑料薄膜电容的兴起

1950 年代，石化工业的繁荣又为电容器带来了全新的可能。杜邦实验室的化学家们从石油副产品中提炼出轻薄强韧的聚酯薄膜，彻底取代了沿用半个世纪的纸介质。根据美国化学学会 1955 年会议纪要，双向拉伸工艺使薄膜厚度控制在 3-12 μ m 范围，介电强度提升至 250V/ μ m。1963 年德国 WIMA 公司推出的 MKP 系列金属化聚丙烯电容，采用真空蒸镀铝层技术，电极厚度仅 20nm，使体积比能量密度达到 0.15J/cm³，是纸介电容的 3 倍。英国德律风根公司的声学测试表明，采用聚酯薄膜电容的 Hi-Fi 功放总谐波失真（THD）降至 0.01%，助力披头士乐队 1967 年专辑《Sgt. Pepper's》实现高保真录制。

1974 年德国西门子工程师 Walter Schmidt 申请的核心专利（DE2232384）揭示了金属化自愈机制：当局部放电发生时，约 10^{-6} 焦耳的能量即可使受损区域的金属层氧化绝缘，整个过程在微秒级完成。欧洲核子研究中心（CERN）1983 年安装的 LEP 对撞机中，超过 50 万只自愈式电容器组成的高压脉冲网络，其平均无故障时间达到 10 万小时，为当时最长的粒子加速器提供了可靠能量存储。

4、半导体技术与固态电解电容

在冷战时期，太空军备竞赛意外推动了电容技术飞跃。为满足卫星在极端温度下的可靠性要求，美国 Sprague 电气公司（现属 AVX）研制出全密封钽电容，其固态电解质设计完美解决了太空环境中的液体泄露难题。阿波罗指令舱计算机的可靠性测试报告显示，钽电容在真空环境下的漏电流低至微安量级，足以确保导航系统在月地转移轨道上的精确计算。

1985 年日本 NEC 工程师大野圭介在《电子材料学报》发表论文，首次将聚吡咯导电聚合物应用于阴极材料，使等效串联电阻降至传统电解液的 1/10。这一研究催生出了革命性的固态电容，使个人电脑的运算速度突破瓶颈。1996 年英特尔 Pentium Pro 处理器采用此类固态电容后，时钟频率首次突破 200MHz，大大提升了计算机的运算速率。1997 年 IBM 深蓝计算机战胜国际象棋世界冠军卡斯帕罗夫，正是数千颗固态电容在每秒 2 亿次棋局演算中维持了 $\pm 5\%$ 的电压波动，工作温度始终控制在 45°C 以下，保障了系统稳定运行。

可以看到，20 世纪电容器的发展围绕着“新材料”、“小型化”、“稳定性”展开，并取得了显著的成果，为现代消费电子、通信和计算技术奠定了基础，持续影响着 21 世纪的新能源与物联网领域。



四. 可变电容赛道

1、机械调节时期

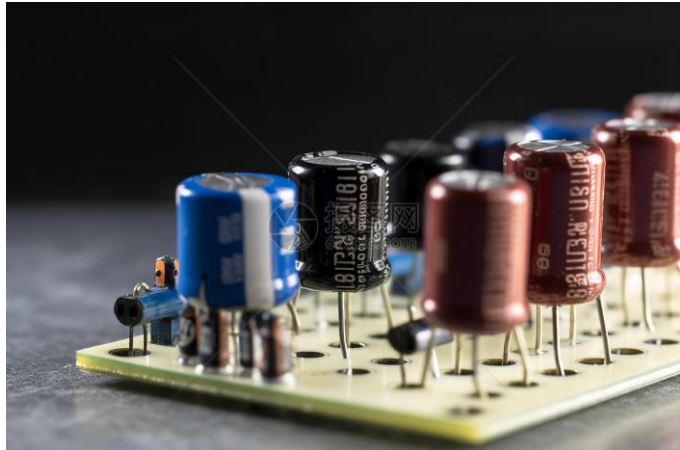
从早期的铝电解、陶瓷电容到后期的 MLCC 和固态电容，电子设备对高频、高稳定性和高密度的需求被逐步满足。但是，从另一个角度而言，在可调节性上，可变电容器的诞生、发展对相关设备、仪器也尤为重要。

可变电容器的技术起源可追溯至麦克斯韦电磁场理论的实际应用阶段。1896 年寒冬，马可尼在意大利博洛尼亚郊外的格里福内庄园进行无线电报实验时，首次意识到可调储能元件的重要性。在潮湿的地下实验室里，他尝试用浸蜡亚麻布包裹的莱顿瓶阵列构建谐振电路。其 12 月提交的英国专利 GB189612326 中详细记载：通过旋转玻璃瓶外层的锡箔片改变有效极板面积，成功实现了 5-20pF 的容量调节范围。这一原始设计在 1903 年柏林工业博览会上被德国工程师 Ernst Alexanderson 发现，他在西门子公司实验室耗时八个月改良出平行板结构。他展示的蝴蝶式可变电容器采用 0.02mm 厚云母介质，通过瑞士制表级别的精密齿轮组控制动定片间距，可调整至 0.1mm 精度，配合德国蔡司光学定位系统，使得该器件在 1MHz 频率下 Q 值高达 200。1905 年马可尼公司采购首批 2000 件，成为火花隙式无线电发射机的标准调谐元件。

1920 年代 AM 广播爆发期，芝加哥自动卷线公司（Chicago Coil Company）工程师团队在密歇根大道工厂展开技术攻坚。1925 年圣诞夜，首席设计师威廉·霍夫曼在车间突发灵感，将 12 组半月形极板以蜂窝状嵌套安装。1926 年量产的蜂窝式可变电容器采用铬镍钢极板，在直径 8cm 的陶瓷基座内通过瑞士 SCHAUBLIN 精密车床加工的凸轮机构，实现 500pF 的线性容量变化。工厂档案显示，工人们需佩戴白手套在百级洁净室装配，每旋转 1 度对应 0.5pF 的容量分辨率。1935 年《无线电工程》期刊实测中，采用该电容的飞歌牌超外差式收音机在 600kHz 频点选择性提升 60%，镜像干扰抑制比达 40dB。据美国商务部统计，至 1939 年全美已有 87% 的收音机采用该设计。

2、真空密封技术突破

1954 年秋，在西方电气公司（Western Electric）新泽西霍姆德尔实验室里，为满足 AT&T 微波中继系统需求，由物理学家罗伯特·朗领导的研究小组正昼夜轮班测试。他们在 3GHz 频段发现传统空气介质可变电容因空气电离导致 Q 值从 800 骤降至 50。经过 137 次材料实验后，团队在专利 US2892934 中提出革命性方案：将 0.1mm 厚钼合金极板封装于康宁 7740 硼硅玻璃腔体，采用钨针封接技术维持 106Torr 真空度。1957 年量产的真空可变电容经历军方严苛测试——在 30kV 脉冲电压下连续工作 2000 小时，在 500MHz 频率下。Q 值仍保持 1200。首批 500 件被麻省理工 Francis Bitter 磁体实验室采购，用于全球首台商用核磁共振波谱仪。



1962 年 7 月 10 日，贝尔实验室为 Telstar 卫星研制的行波管放大器进入最后调试阶段。工程日志显示，钛金属真空电容在卡纳维拉尔角发射场的极端环境中表现出色：当温度从 -65°C 骤升至 +125°C 时，采用 Invar 合金补偿结构的器件容量漂移小于 0.1pF/°C。NASA 技术备忘录 TM-X-51246 记载，该电容保障了人类首次跨大西洋电视信号传输，使法国观众清晰收看到美国棒球明星米基·曼托的击球画面。1968 年东京秋叶原电子展上，东芝推出的 CVT-6 型真空电容引发轰动。其采用日立金属开发的钨铜合金极板与日本特殊陶业生产的氧化铍陶瓷绝缘体，在 NHK 茨城发射台的 100kW 短波发射机中，容量微调精度显著优于同期机械式电容。

3、半导体调谐革命

1971 年春，摩托罗拉半导体部门凤凰城实验室的约翰·波斯沃思团队正为调频收音机 IC 焦头烂额。3 月 15 日的实验记录显示，当反向偏压从 0V 增至 30V 时，突变结二极管的结电容非线性变化曲线引发关注。团队耗时三个月完成 256 组实验，最终采用磷扩散浓度梯度控制技术，使电容比达到 5:1。1973 年大阪国际电子展上，东芝 TVT-2000 型电视机高频头引发行业地震——其采用的 6 颗变容二极管组成的电子调谐系统，使频道切换速度从机械式的 1.2 秒缩短至 15 毫

秒。生产线监控录像显示，该器件采用东京精密 S-3000 型探针台进行激光修调，合格率从初期的 23% 提升至 89%。

1976 年《电子设计》杂志的特别报道中，编辑团队在屏蔽室内对 RCA CA3089 芯片进行 72 小时连续测试。使用 HP3585A 频谱分析仪测得，其集成的变容二极管阵列在 88-108MHz 频段实现 $\pm 2\text{kHz}$ 的自动频率控制精度，相当于将调频信号锁定在 0.0018% 的偏差范围内。1980 年慕尼黑欧洲微波会议上，ITT 公司首席工程师汉斯·穆勒演示的 MK2000 卫星接收机技惊四座。采用法国 Thomson-CSF 提供的砷化镓超突变结变容二极管，在 12GHz Ku 波段将相位噪声压制到 -90dBc/Hz。欧洲航天局技术报告 ESTEC-1980-039 详细记载：该器件在荷兰诺德韦克真空罐中经历 200 次 -180°C 至 +150°C 热循环后，电容温度系数仍稳定在 $\pm 30\text{ppm}/^\circ\text{C}$ 。

五. 新世纪突破

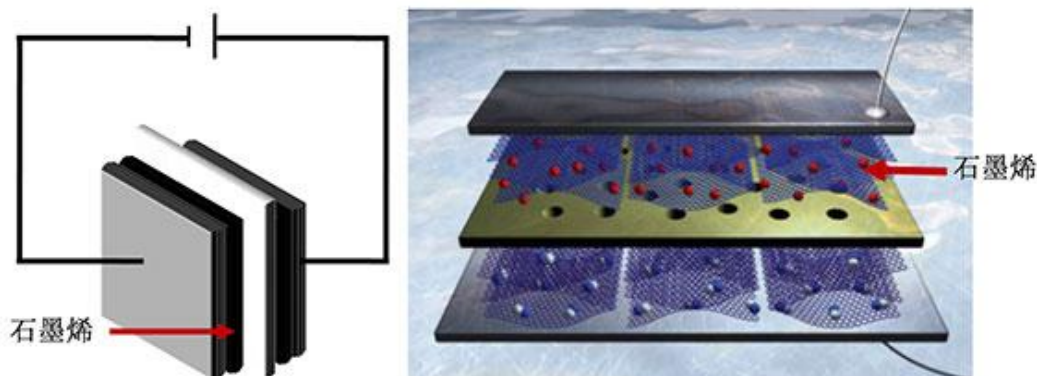
1、双电层电容器的觉醒

在冷战科技竞赛的背景下，通用电气实验室的工程师 H.I.Becker 偶然发现了改变储能历史的物理现象。某日他在测试活性炭电极时，意外观察到硫酸电解液中形成了肉眼不可见的电荷隔离层。这个发现促使研究团队在 1957 年申请了具有里程碑意义的专利，其核心创新在于揭示了固液界面纳米级的储能机制。此时尚未有人预见，这个基础发现将开启新型储能器件的大门。

十年后，标准石油公司的实验室迎来了戏剧性转折。研究人员在尝试不同有机溶剂时，发现丙烯酸酯与季铵盐的奇妙组合能显著提升储能性能。实验室日志记载着当时的情景：当比表面积惊人的活性炭样本浸入新型电解液时，电压表指针的剧烈偏转让整个团队为之振奋。这项突破为后续商业化奠定了理论基础。

日本 NEC 的突破性进展源于一场材料革命。研发团队为解决传统电极脆性问题，耗时三年试验了数十种高分子粘接剂。某个深夜的实验记录显示，当聚四氟乙烯与活性炭粉末以特定比例混合时，竟意外形成了兼具柔韧性与导电性的复合材料。这项创新彻底改变了电容器的形态设计，使得超薄卷绕式结构成为可能。

苏联航天工程为双电层电容器提供了史诗级的应用舞台。在暴风雪号航天飞机研发最紧张的阶段，工程师们发现传统电池无法满足极端温度下的快速充放电需求。经过数百次模拟实验，最终选定的超级电容模组在西伯利亚试验场经受了零下四十度的严酷考验，成功保障了航天器在太空中的精准姿态调整。



2、超级电容的产业化浪潮

当赝电容理论首次被提出时，学界曾因其颠覆性的储能机理引发激烈争论。俄罗斯 B.V. Konkin 团队在《Russian Journal of Electrochemistry》1991 年多篇论文中系统阐述了 RuO₂ 的氧化还原赝电容机制，他们通过持续的电化学实验，成功捕捉到二氧化钌表面发生的氧化还原反应证据。实验表明，RuO₂ 的准电容效应比双电层容量高 1 个数量级。这项发现如同打开新世界的大门，让储能密度实现了数量级跨越。

新千年之初的产业化竞赛中，Maxwell 科技公司的工程师们在有机电解液体系中引入离子液体时，发现电压窗口的扩展远超预期。这个突破性进展直接催生了具有里程碑意义的 PC10 系列产品，其独特的 RuO₂/活性炭复合电极结构为行业树立了新标杆。

2009 年世博会上，中车研发团队为攻克制动能量回收难题，创造性设计了电容-电池混合系统，其 3000F 模组在申沃客车上实测 30 秒充电效率达 72-75%。2016 年，石墨烯材料的应用掀起了新一轮技术革命。博世实验室发布了足以改写行业认知的发现：当石墨烯片层以特定角度嵌入电极时，离子传输路径发生质的飞跃。这项发现不仅突破了循环寿命的极限，使得实际环境中车规级产品寿命达到了 50 万次，更催生了车用启停系统的全面革新。

在麻省理工学院的纳米实验室里，研究人员通过气相沉积法培育的垂直石墨烯阵列，展现出令人惊叹的储能潜力。当测试仪显示其能量密度历史性超越传统电池时，整个团队意识到他们正站在储能技术进化的临界点上。这项突破为超级电容的普适化应用铺平了道路。

3、光子晶体介质电容器面世

2021 年，一项由麻省理工学院（MIT）材料科学与工程团队领衔的研究成果

在《自然·材料》期刊上发表，首次将光子晶体结构应用于电容器电介质，成功开发出“光子晶体介质电容器”。这一创新为储能器件的高性能化开辟了新路径，引发学界与工业界的广泛关注。

光子晶体是一种具有周期性纳米结构的人造材料，其独特的光子带隙可调控电磁波传播，过去多用于光学器件（如低损耗波导）。研究团队突破性地将其引入电容器设计，利用其周期性介电结构优化电场分布。通过精确设计二氧化硅和氮化硅构成的二维光子晶体薄膜，材料在承受高电压时，电场被均匀分散于晶格孔隙中，从而将击穿电压提升至传统聚合物介质的 3 倍以上，能量密度达到 15 J/cm^3 ，远超当时主流商用电容器（约 2 J/cm^3 ）。

该电容器展现出多重优势：其一，光子晶体的有序结构减少了介质内部的电荷累积，充放电效率达 98%，且在 10 万次循环后容量保持率超过 95%；其二，氮化硅骨架赋予其耐高温特性，在 200°C 环境下仍保持稳定，适用于极端工况；其三，独特的带隙设计抑制了高频下的介电损耗，使其在 5G 通信基站等高频场景中具备应用潜力。

研究团队采用电子束光刻与反应离子刻蚀技术，实现了 100 纳米精度的结构控制，但量产成本较高。2021 年后的研究转向开发自组装工艺，如澳大利亚新南威尔士大学尝试用胶体晶体模板法降低制造成本。目前，该技术已在实验室层面与特斯拉等企业合作测试，用于电动汽车的再生制动能量回收系统。